

زمین‌شیمی و پتروژنر پلازیوگرانیت‌های مجموعه افیولیتی نیریز- ایران: با تأکیدی بر منشأ آن‌ها

الله علیزاده، محسن آروین *

گروه زمین‌شناسی، دانشکده علوم، دانشگاه شهید باهنر، کرمان، ایران

چکیده

توده نفوذی پلازیوگرانیتی، در بخش گابرویی مجموعه افیولیتی نیریز، واقع در جنوب‌شرق شیراز، رخمنون دارد. این توده از نظر سنگ‌شناسی شامل تونالیت و ترونجمیت است و تماس آن با گابروهای اطراف به صورت واضح و در مواردی پوشیده است. بافت غالب آن‌ها گرانولولار غیر همسان‌دانه، گرانوفیری و میکروگرافیک است. کانی‌های اصلی پلازیوگرانیت‌ها شامل کوارتز، پلازیوکلاز و فلدسپار سدیک و کانی‌های فرعی به مقدار کمتر از ۱۰ درصد شامل آمفیبول همراه یا بدون پیروکسن، اوپاک و بهندرت تیتانیت و زیرکن است. بر اساس مطالعات زمین‌شیمیایی، پلازیوگرانیت‌ها از نوع کالک‌آلکالن و متا‌الومینوس هستند و دارای ویژگی‌های گرانیت نوع I و محیط تکتونیکی پشتی میان اقیانوسی و قوس آتشفسانی هستند. الگوی عناصر نادر خاکی به هنجار شده به کندریت پلازیوگرانیت‌ها، یک تهی شدگی مشخص از عناصر نادر خاکی سبک همراه با الگوی تقریباً مسطح در بخش عناصر نادر خاکی سنگین را نشان می‌دهد. به‌نظر می‌رسد که مagma‌ای سازنده این سنگ‌ها در یک محیط تکتونیکی پهنه بالای فروزانش از ذوب بخشی سنگ‌های بازیک حاصل شده باشند که این سنگ منشأ خود قبل‌از ذوب یک گوشه‌تهی شده هارزبورژیتی نشأت گرفته است.

واژه‌های کلیدی: افیولیت نیریز، پلازیوگرانیت، پهنه فروزانش، قوس آتشفسانی، پشتی میان اقیانوسی

مقدمه

بالا، K_2O خیلی پایین و Na_2O بالا در قسمت‌های

بالایی بخش نفوذی توالی وجود دارد. ترکیب این سنگ‌های اسیدی، در برگیرنده طیف وسیعی از

تقریباً در همه مجموعه‌های افیولیتی، حجم کمی از سنگ‌های magma‌ی روشن اسیدی نیمه عمیق با SiO_2

* arvin@uk.ac.ir

تقسیم‌بندی IUGS واژه پلازیوگرانیت اقیانوسی برای آن گروه از سنگ‌های نفوذی به کار برده می‌شود که شامل پلازیوکلاز (در محدوده ترکیبی الیگوکلاز تا آنورتیت)، کوارتز و مقدار کمی هورنبلند و پیروکسن باشند (Le Maitre, 2002).

به طور کلی می‌توان گفت که پلازیوگرانیت‌ها اهمیت ویژه‌ای در شناخت خاستگاه تکتونیکی افیولیت‌ها دارند. Pearce و همکاران (۱۹۸۴) بر اساس مقادیر عناصر کمیاب موجود در پلازیوگرانیت‌ها سعی در بازسازی محیط زمین‌دینامیکی مجموعه‌های افیولیتی نمودند. (Barbarin, 1999) و همچنین جزایر قوسی (برای مثال: Gerlach *et al.*, 1981; Miyashiro, 1973; Malpas, 1979; Vernikovskiy *et al.*, 1993; Saunders *et al.*, 1979) و پشت‌های پهنه بالای فرورانش (حوضه جلوی قوس) Pearce *et al.*, 1982; Alabaster *et al.*, 1984 (برای مثال: Jenner *et al.*, 1991; Jafri *et al.*, 1995) نیز گزارش شده‌اند. حضور پلازیوگرانیت‌ها به عنوان یکی از ویژگی‌های افیولیت‌های مزوژوئیک پهنه بالای فرورانش نئوتیس در شرق مدیترانه و از جمله افیولیت نیریز محسوب می‌شود (به عنوان مثال: افیولیت‌های ترودوس، هاتای، آنتالیا، ورینوس و عمان) (Pearce *et al.*, 1984). از جمله سازوکارهایی که برای تشکیل پلازیوگرانیت‌ها پیشنهاد شده است، می‌توان به موارد زیر اشاره کرد (Hatzipanagiotou *et al.*, 1995): حاصل آخرین مرحله تفریق مذاب‌های MORB، در نتیجه ذوب بخشی سنگ‌های گابرویی و نیز حاصل غیر قابل امتزاج بودن مایع سیلیکاته که نتیجه آن همزیستی سنگ‌های فلسیک با فروگابروهاست.

با توجه به ارتباط نزدیک بین سنگ‌های پلازیوگرانیتی با بخش‌های گابرویی در مجموعه‌های افیولیتی، بسیاری از پژوهشگران، منشأ این سنگ‌های روشن را از تفریق بخش گابرویی مجموعه‌های افیولیتی

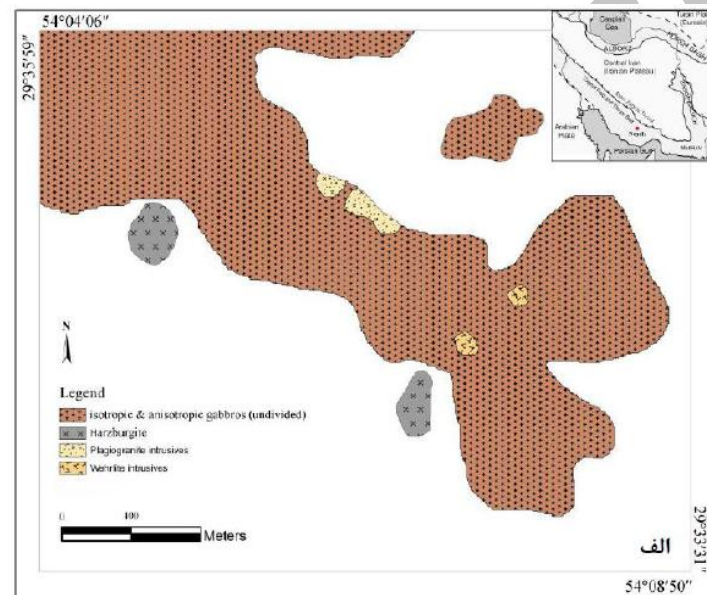
سنگ‌های آلکالی گرانیت، تونالیت، ترونجمیت، آلبیت‌گرانیت، آلبیت و کوارتز دیوریت است. به‌منظور اجتناب از اشتباه گرفتن این نوع سنگ‌ها با انواع مشابه با منشأ قاره‌ای، Peterman و Coleman (۱۹۷۵) نام "پلازیوگرانیت‌های اقیانوسی" را برای پلازیوگرانیت‌های همراه با افیولیت‌ها برگزیدند. مقدار کم اما مشهودی از این نوع سنگ‌های تکامل یافته فلسیک شامل دیوریت، کوارتز دیوریت، تونالیت و ترونجمیت در بخش گابرویی پوسته اقیانوسی نیز وجود دارد (Aumento, 1969; Dick *et al.*, 1997; Casey, 1997; Koepke *et al.*, 2007; Scientific Party, 2005). به طور کلی می‌توان گفت پلازیوگرانیت‌ها حدود یک درصد حجمی پوسته پایینی اقیانوس‌ها را تشکیل می‌دهند و عمدها در قالب نفوذی‌های تأخیری در مجموعه‌های گابرویی نفوذ کرده‌اند (Koepke *et al.*, 2004). از نحوه نفوذ و اندازه آن‌ها گزارش‌های متفاوتی شده است که به عنوان مثال می‌توان به این موارد اشاره نمود: به صورت رگه‌های فلسیک در حد چند میلی‌متر تا چند سانتی‌متر و در حجم کم از ۲۰۰ مغزه گابرویی حفاری شده به طول ۱/۵ کیلومتر از پوسته پایینی اقیانوسی در پشته جنوب‌غربی هند (Dick *et al.*, 2000) در قالب توده‌های بزرگ در حد چندین متر یا مجموعه‌ای از شبکه‌های رگه‌ای مشتمل بر زمینه فلسیک و بیگانه‌سنگ‌هایی از سنگ‌های گابرویی یا دایکی (Juteau *et al.*, 1988) و همچنین در قالب نفوذی‌های فلسیک مرحله آخر در اندازه چندین صدمتر از افیولیت‌های عمان (Lippard *et al.*, 1986). بر اساس مشاهدات پتروگرافی سنگ نفوذی فلسیک شاخص در پوسته اقیانوسی، به‌طور معمول دارای پلازیوکلاز غنی در آلیت و کوارتز همراه با کانی تیره هورنبلند است که نشانگر تشکیل در شرایط حضور بالای آب است. اکسیدهای Fe-Ti، آپاتیت و بعضی اوقات زیرکن نیز از جمله کانی‌های فرعی هستند (Lippard *et al.*, 1986; Koepke *et al.*, 2007).

گابروها به صورت واضح و در مواردی پوشیده است و بعضاً در محل تماس، بیگانه‌سنگ‌های گابرویی در توده پلازیوگرانیت مشاهده می‌شوند (شکل ۲-الف). همچنین در خنمنون از دایک‌های دیابازی تأخیری نیز در این توده مشاهده می‌شود (شکل ۲-ب). به ندرت شواهدی از تفریق در قالب لایه‌بندی در پلازیوگرانیت‌ها دیده می‌شود (شکل ۲-ج). بافت کلی سنگ‌های پلازیوگرانیتی نیریز دانه‌ای غیر همسان دانه با ضریب رنگی تمام روشن (هولولوکراتیک) هستند.

هدف از این نوشتار، بررسی پتروژنیز و تعیین خاستگاه تکتونیکی پلازیوگرانیت‌های نیریز و مقایسه آن‌ها با پلازیوگرانیت‌های مجموعه افیولیتی عمان است.

زمین‌شناسی منطقه

منطقه مورد مطالعه در ۴۵ کیلومتری شمال غرب شهرستان نیریز، در بخش گابرویی مجموعه افیولیتی نیریز، رخنمون دارد (شکل ۱-الف و ب). تماس سنگ‌های پلازیوگرانیتی و



شکل ۱-الف) نقشه زمین‌شناسی بخشی از مجموعه افیولیتی نیریز که شامل رخنمون‌های پلازیوگرانیتی است (برگرفته از هاشمی تنگستانی، ۱۳۷۵)، ب) نمایی از رخنمون پلازیوگرانیت در بخش گابرویی مجموعه افیولیتی نیریز، دید به سمت شمال شرق.

آنالیز شیمیایی شد. به منظور تحلیل بهتر، از دوس مورد داده‌های زمین شیمیایی مربوط به پلاژیوگرانیت‌های منطقه (Babaei *et al.*, 2006) نیز استفاده شده است.

پتروگرافی

بر اساس مطالعات پتروگرافی، سنگ‌های پلاژیوگرانیتی مجموعه افیولیتی نیز از کانی‌های اصلی کوارتز، پلاژیوکلاز و فلدسپار سدیک و کانی‌های فرعی به مقدار کمتر از ۱۰ درصد شامل آمفیبول همراه یا بدون پیروکسن، اوپاک و بندرت تیتانیت و زیرکن تشکیل شده‌اند. کانی‌های ثانویه که عمدتاً تحت تأثیر دگرسانی گرمابی از پلاژیوکلازها و کانی‌های تیره حاصل شده‌اند شامل سریسیت، کائولینیت، کلریت، اپیدوت، زئولیت و کلسیت هستند. در نمودار مودال QAP، این سنگ‌ها در محدوده ترونجمیت قرار می‌گیرند ولی با توجه به نتایج بررسی‌های صحرایی، پلاژیوگرانیت در نظر گرفته می‌شوند.

بلورهای پلاژیوکلاز به صورت تخته‌ای نیمه‌شکل دار تا شکل دار و گاهی متقطع است و با اندازه در حد ۰/۲ تا ۵ میلی‌متر، فراوان ترین کانی است که حدود ۵۰ تا ۷۰ درصد حجمی نمونه‌ها را تشکیل می‌دهد. این بلورها از نوع آلبیت، الیگوکلاز و بعض‌اً آندزین هستند و تحت تأثیر فرآیند سریسیتی شدن نیز قرار گرفته‌اند (شکل ۳-الف). به ترتیب فراوانی، ماکلهای تکراری و پریکلین در آن‌ها مشهود است (شکل ۳-ب) و در مواردی هم منطقه‌بندی نوسانی نیز نشان می‌دهند.

کوارتز به صورت کاملاً بی‌شکل و هم‌بعد، از کانی‌های اصلی تشکیل دهنده در پلاژیوگرانیت نیز است که در حدود ۲۵ تا ۳۵ درصد حجمی نمونه‌ها را شامل شده و دارای خاموشی موجی است. این کانی عمدتاً به صورت دانه‌درشت و گاه‌اً تجمعی از دانه‌های ریز خرد شده (در قالب بافت کاتاکلاستیک) تشکیل شده است. بافت‌های گرانوفیری و میکروگرافیک حاصل از رشد کوارتز و

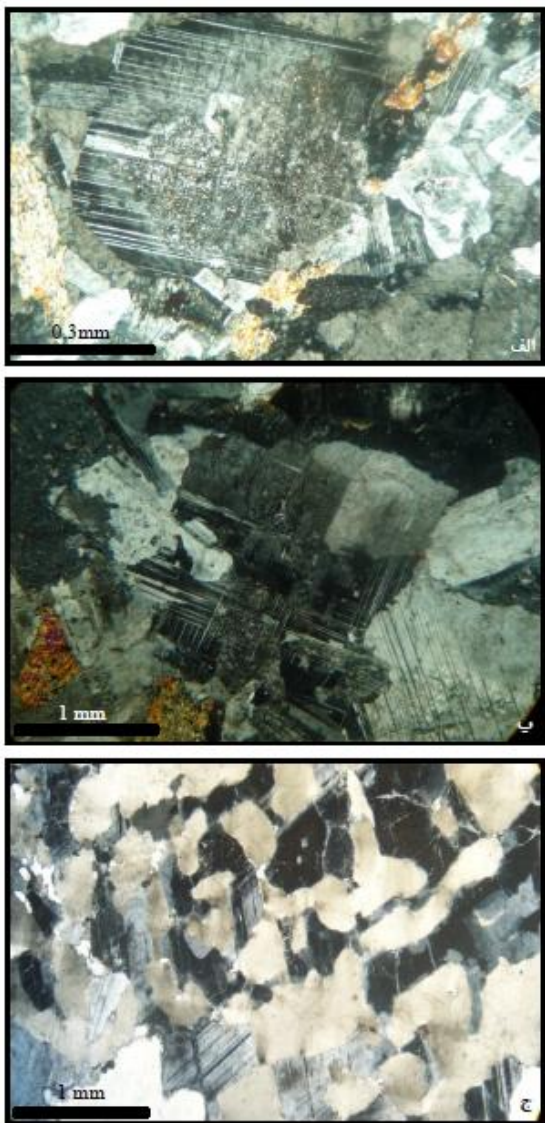


شکل ۲ - (الف) آنکلاوهای گابرویی، (ب) دایک دیابازی تأخیری، (ج) لایه‌بندی ضعیف در پلاژیوگرانیت‌های مجموعه افیولیتی نیز

روش انجام پژوهش

برای آگاهی از ویژگی‌های زمین شیمیایی و پتروژئنیز پلاژیوگرانیت‌های مجموعه افیولیتی نیز، پس از بررسی صحرایی، از تعداد ۵۰ نمونه سنگی مقطع نازک تهییه شد. پس از مطالعات میکروسکوپی، تعداد ۷ نمونه از تازه‌ترین سنگ‌ها انتخاب و به روش ICP-MS و XRF در آزمایشگاه زمین شیمی شرکت ALS Chemex کانادا

می‌شود، پلازیوگرانیت‌های نیریز روندی به سمت Ab بالا در مقابل مقادیر پایین Or را دنبال می‌کنند که این خود نشانه‌ای از تفرقی پلازیوگرانیت است. همچنین با توجه به Peterman و Coleman (۱۹۷۵)، پلازیوگرانیت‌های نیریز، آلیت‌گرانیت بوده و در محدوده تولیتی با پتسیم کم قرار می‌گیرند (شکل ۵).



شکل ۳- (الف) فرآیند سریسیتی شدن در پلازیوگرانیت سدیک، (ب) ماکل تکراری و پریکلین در پلازیوگرانیت، (ج) بافت میکروگرافیک در پلازیوگرانیت‌های مجموعه افیولیتی نیریز. همه عکس‌ها در نور XPL گرفته شده‌اند.

پلازیوگرانیت سدیم‌دار نیز در مقاطع نازک دیده می‌شود (شکل ۳- ج).

کانی‌های تیره در قالب هورنبلند، همراه یا بدون پیروکسن و اوپاک، کمتر از ۱۰ درصد حجمی پلازیوگرانیت‌ها را تشکیل می‌دهند. هورنبلند به صورت منشوری کشیده شکل دار تا نیمه‌شکل دار به اندازه ۱ تا ۲ میلی‌متر، در همه مقاطع نازک حضور دارد و بعضاً در اثر دگرسانی به کلربیت، اپیدوت و ندرتاً تیتانیت تبدیل شده است. در بعضی موارد پلازیوگرانیت و پیروکسن به صورت ادخال در هورنبلند دیده می‌شوند که باعث ایجاد بافت پویی کلیتیک شده‌اند. بلورهای کلینوپیروکسن به اندازه ۱ تا ۳ میلی‌متر به ندرت در بعضی از مقاطع نازک دیده می‌شوند و عمده‌تاً توسط ترمولیت و اکتینولیت جانشین شده‌اند. کانی‌های اوپاک نیز به صورت شکل دار تا نیمه‌شکل دار به اندازه ۰/۵ تا ۱ میلی‌متر هستند.

تیتانیت و زیرکن از جمله کانی‌های فرعی در پلازیوگرانیت نیریز هستند. تیتانیت به صورت اولیه به شکل لوزی و همچنین گوهای مانند است و اکثراً در کنار هورنبلند و کانی‌های اوپاک دیده می‌شود ولی نوع ثانویه آن، که در اثر دگرسانی از هورنبلند توسعه یافته است، نیز در مقاطع نازک وجود دارد. زیرکن هم به ندرت به صورت ادخال در کوارتز و پلازیوگرانیت دیده می‌شود.

زمین‌شیمی

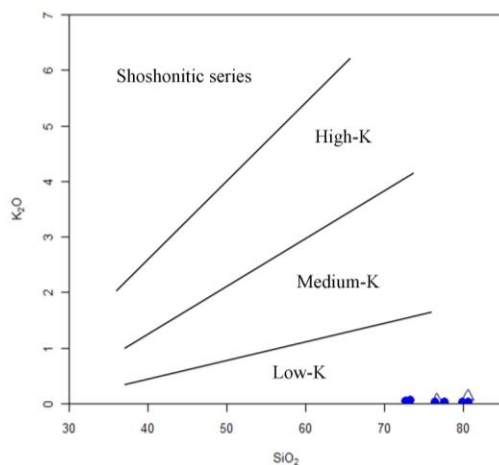
پلازیوگرانیت‌های نیریز دارای مقادیر بالایی از SiO_2 (۸۰/۵-۷۲/۶)، Na_2O (۵/۷۴-۴/۳۱)، CaO (۱/۲۶-۴/۵۹) و مقدار خیلی پایین K_2O (۰/۰۷-۰/۰۴) هستند (جدول ۱) و در نمودار نورماتیو An-Ab-Or (O'Conner, 1965) در محدوده ترونجمیت و تونالیت قرار می‌گیرند (شکل ۴). با توجه به مقادیر بسیار پایین کانی‌های تیره در آن‌ها بهتر است فقط نام ترونجمیت به آن‌ها اطلاق شود. همان‌طور که در شکل ۴ مشاهده

جدول ۱- نتایج آنالیز شیمیایی اکسیدهای اصلی (wt%) و عناصر فرعی (ppm) پلازیوگرانیت‌های مجموعه افیولیتی نیریز. نمونه‌های A04 و Babaei از ۳۰A و همکاران (۲۰۰۶) گرفته شده است. (na=آنالیز نشده، nd=نمتر از حد تشخیص)

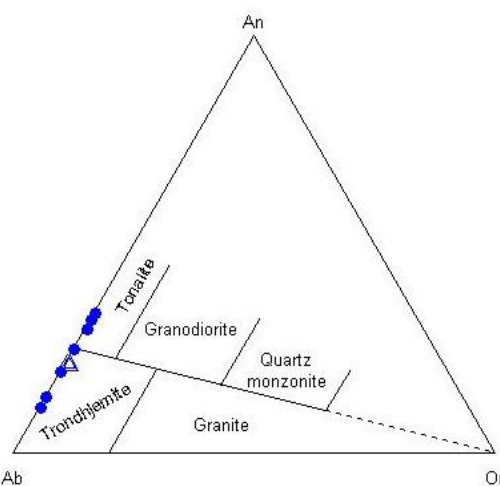
Sample Symbol	AA-17 ●	AA-32 ●	AA-33 ●	AA-35 ●	AA-36 ●	AA-43 ●	AA-51 ●	A04 Δ	30A Δ
wt%									
SiO ₂	80.5	79.8	76.4	72.7	73.2	72.6	77.6	80.5	76.57
TiO ₂	0.06	0.12	0.15	0.25	0.23	0.21	0.07	0.13	0.21
Al ₂ O ₃	10.8	10.2	12.2	14.5	13.3	13.4	12	۱۳.۵۶	13.56
FeO	0.59	0.82	0.55	1.42	2.72	2.6	0.92	0.35	0.44
MnO	0.01	0.01	nd	0.01	0.01	0.01	0.01	nd	0.01
MgO	0.3	0.22	0.35	0.42	0.33	0.45	0.53	0.45	0.5
CaO	2.27	1.26	2.08	4.59	3.6	3.99	2.76	2.09	3.06
Na ₂ O	4.51	5.03	5.74	4.5	4.48	4.31	4.49	4.51	5.41
K ₂ O	0.04	0.04	0.04	0.05	0.06	0.05	0.04	0.13	0.07
MnO	0.01	0.01	nd	0.01	0.01	0.01	0.01	nd	0.01
P ₂ O ₅	nd	0.01	0.08	0.09	0.01	0.13	nd	0.02	0.04
SrO	0.01	0.01	0.01	0.02	0.01	0.01	0.01	na	na
L.O.I.	0.2	0.1	0.1	0.2	0.3	0.9	0.69	0.69	3.47
Total	99.3	97.6	97.7	98.8	98.3	98.7	99.1	100.29	103.34
A/CNK	1.58	1.61	1.55	1.59	1.63	1.6	1.65	1.7	1.59
A/NK	2.37	2.01	2.11	3.19	2.93	3.07	2.65	2.46	2.47
ppm									
Ba	30.1	7.6	19	26	41.1	30.2	27.2	29.71	34.05
Ce	0.7	0.8	0.9	1.4	1.4	1	0.6	0.8	0.8
Co	1.4	2	2	3.2	4.4	4.5	4	na	na
Cr	20	10	nd	nd	nd	nd	nd	nd	5
Cs	0.02	0.02	0.02	0.01	0.01	0.01	nd	na	na
Cu	8	10	5	7	7	5	5	na	na
Dy	1.07	8.16	11.1	1.77	2.19	2.03	0.88	1.48	1.23
Er	0.83	6.71	8.99	1.26	1.6	1.38	0.71	1.81	0.89
Eu	0.39	0.26	0.36	0.46	0.48	0.47	0.39	0.32	0.42
Ga	9.6	10	12	14.4	13.5	13.7	11.8	na	na
Gd	0.62	3.62	4.87	1.15	1.26	1.24	0.54	0.97	0.86
Hf	0.9	1.8	3.2	0.5	0.5	0.3	0.7	na	na
Ho	0.26	2.2	2.96	0.42	0.52	0.47	0.23	na	na
La	nd	nd	nd	0.7	0.7	0.5	nd	0.3	0.25
Lu	0.12	0.9	1.19	0.21	0.3	0.19	0.11	0.21	0.17
Nb	nd	0.6	0.6	0.2	0.3	0.2	nd	1.88	1.22
Nd	0.8	1.3	1.6	1.3	1.5	1.3	0.6	1	1.1
Ni	nd	5	nd	nd	6	5	8	na	na
Pr	0.1	0.16	0.17	0.21	0.23	0.18	0.11	na	na
Rb	0.4	0.3	0.3	0.3	0.4	0.2	0.2	1.41	1.95
Sm	0.37	1.17	1.54	0.6	0.72	0.75	0.33	0.6	0.5
Sr	85.2	90.8	119	125.5	104	107.5	106	94.8	134.11
Ta	0.01	0.1	0.1	0.01	0.01	0.01	0.01	0.89	0.97
Tb	0.14	0.98	1.36	0.27	0.3	0.3	0.13	na	na
Th	0.09	0.22	0.2	0.07	0.08	nd	0.05	na	na
Tm	0.14	0.99	1.29	0.2	0.26	0.2	0.12	na	na
V	12	10	14	13	13	18	23	nd	6
W	2	2	2	2	2	2	2	na	na
Y	7.5	61.5	83.9	11.5	14.5	12.2	6.2	10.4	14.5
Yb	0.87	5.86	7.8	1.3	1.73	1.27	0.66	1.2	0.9
Zn	5	nd	nd	8	7	10	nd	na	na
Zr	24	43	89	14	15	7	18	41	47

(شکل ۶-ب) نیز نمونه‌ها در محدوده ساب آلکالن واقع می‌شوند که خود نشانه‌ای از تبلور ماگما در شرایط اکسیدان است (Ishihara, 1977). بر اساس نمودارهای FeO+MgO در مقابل SiO₂ و AFM (Rickwood, 1989) نمونه‌های منطقه در محدوده کالک‌آلکالن واقع می‌شوند (شکل ۷-الف و ب).

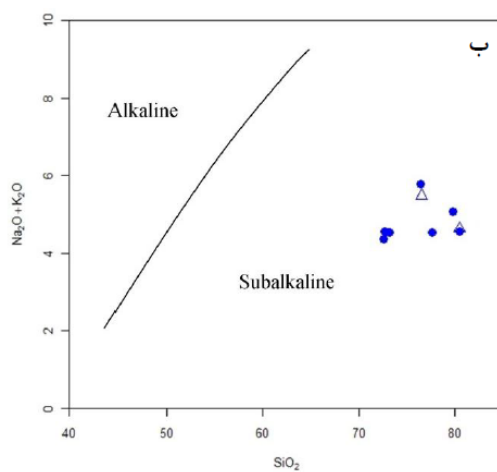
پلازیوگرانیت‌های نیریز بر اساس ویژگی متابالومینوس بودن (A/CNK<1) از ترونجمیت‌های قاره‌ای تفکیک می‌شوند و در نمودار SiO₂/Al₂O₃ در برابر A/CNK در محدوده پلازیوگرانیت‌های اقیانوسی قرار می‌گیرند (شکل ۶-الف). در نمودار (OP) (Irvine and Baragar, 1979) Na₂O+K₂O در مقابل SiO₂ نیز نمونه‌ها در محدوده کالک‌آلکالن واقع می‌شوند (شکل ۷-الف و ب).



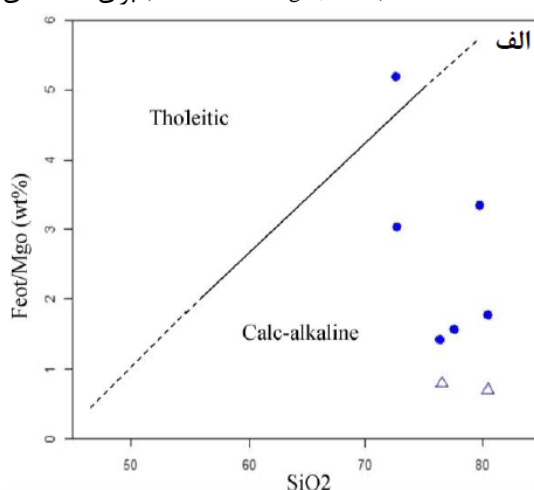
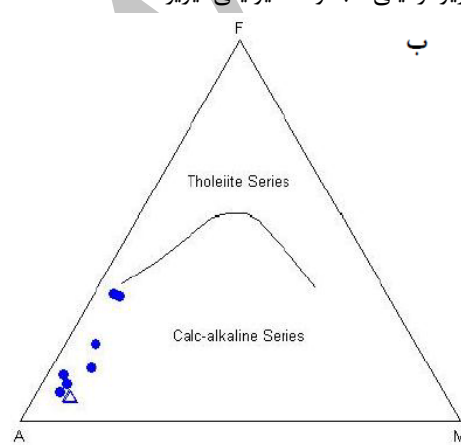
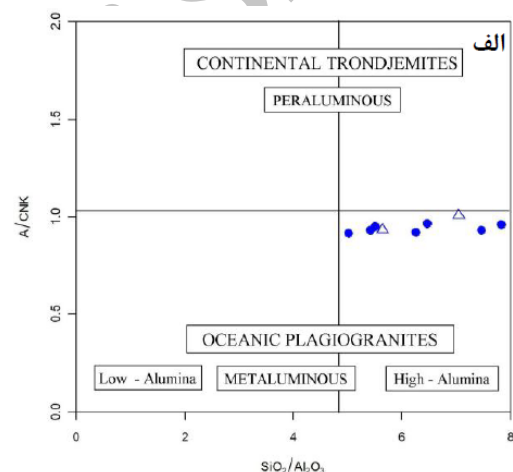
شکل ۵- نمودار K_2O در مقابل SiO_2 در سنگ‌های پلازیوگرانیتی مجموعه افیولیتی نیریز (Le Maitre, 2002)



شکل ۴- نمودار نورماتیو An-Ab-Or در سنگ‌های پلازیوگرانیتی مجموعه افیولیتی نیریز (O'Connor, 1965)

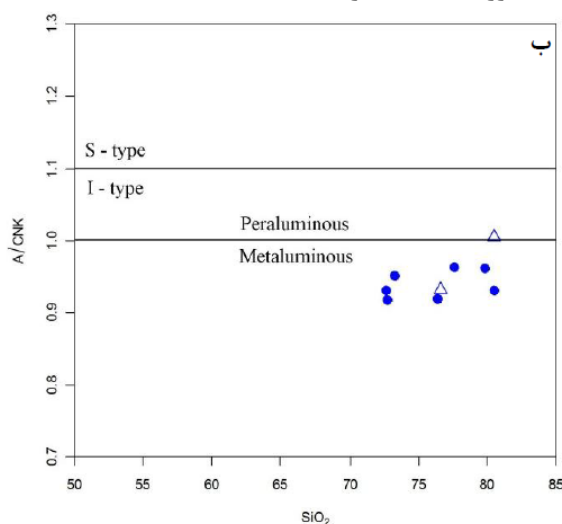


شکل ۶- (الف) نمودار A/CNK در مقابل SiO_2/Al_2O_3 . (محدوده‌ها از Rameshwar (۲۰۰۴)، ب) نمودار Na_2O+K_2O در مقابل SiO_2 و همکاران (Irvine and Bargar, 1971) برای سنگ‌های پلازیوگرانیتی مجموعه افیولیتی نیریز



شکل ۷- (الف) نمودار $FeO+MgO$ در مقابل SiO_2 , ب) نمودار AFM برای سنگ‌های پلازیوگرانیتی مجموعه افیولیتی نیریز (Rickwood, 1989)

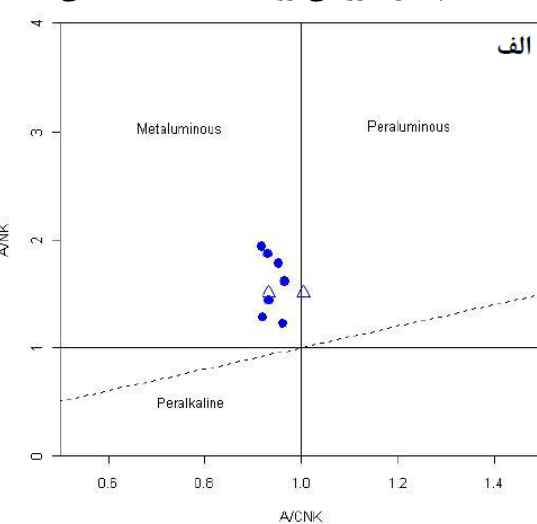
در مقابل SiO_2 (نمودارهای هارکر) برای توده‌های گابرویی و پلازیوگرانیتی مجموعه افیولیتی نیریز نشان می‌دهد که فرآیند تفریق ماغمای در سنگ‌های پلازیوگرانیتی و گابرویی به صورت جدگاهه عمل نموده است، اما با توجه به اینکه پیوستگی بین نمونه‌های متعلق به این دو نوع خانواده سنگی دیده نمی‌شود، در نتیجه تکوین توده پلازیوگرانیتی از گابروها را نمی‌توان محرز دانست (علیزاده، ۱۳۹۰).



شکل ۸- قرارگیری سنگ‌های پلازیوگرانیتی مجموعه افیولیتی نیریز در (الف) محدوده متالومینوس در نمودار A/CNK در مقابل A/CNK (Chappell and White, 1974) و (ب) محدوده گرانیت نوع I در نمودار A/CNK در مقابل SiO_2 (Shand, 1943)

منشأ و خاستگاه تکتونیکی پلازیوگرانیت‌های نیریز (Jiang *et al.*, 2008; 1999). بنابراین استفاده از این عناصر اطلاعات قابل توجهی را در مورد منشأ و تکامل سنگ‌های آذرین فراهم خواهد نمود. از داده‌های عناصر کمیاب پلازیوگرانیت‌های مجموعه افیولیتی نیریز در تعیین خاستگاه تکتونیکی آن‌ها در نمودارهای Pearce و همکاران (۱۹۸۴) استفاده شده است. در نمودارهای Rb در مقابل (Y+Nb) و Nb در مقابل Y (شکل ۹-الف و ب)، به غیر از دو نمونه که در محدوده گرانیت‌های پشت‌های اقیانوسی (ORG) قرار می‌گیرند، برای سایر نمونه‌ها، مقادیر VAG پایین Y با گرانیت‌های قوس ماغمای (VAG) سازگاری دارند. چنین وضعیتی در پلازیوگرانیت‌های دیگر مجموعه‌های افیولیتی

نسبت‌های A/NK و A/CNK برای پلازیوگرانیت‌های نیریز به ترتیب در محدوده ۱/۷۰ و ۳/۱۹ واقع می‌شوند که نشانگر متالومینوس بودن آن‌هاست (شکل ۸-الف). در نمودار دوتایی (Chappell and White, 1974) A/CNK از آن جا که نسبت‌های A/CNK کمتر از ۱/۱ است بنابراین نمونه‌ها در محدوده گرانیت‌های I-type قرار می‌گیرند (شکل ۸-ب). همچنین، بررسی روند اکسیدهای اصلی

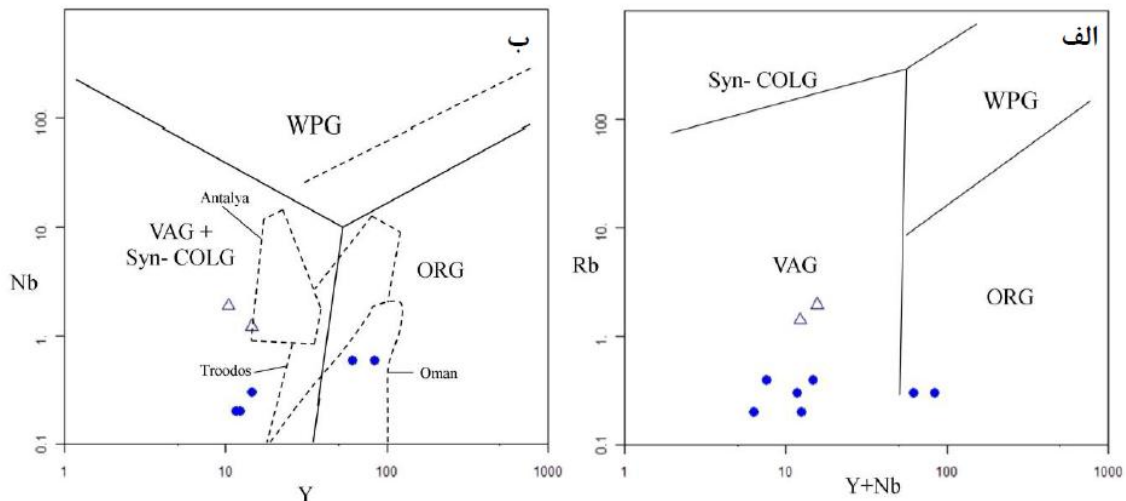


شکل ۸- قرارگیری سنگ‌های پلازیوگرانیتی مجموعه افیولیتی نیریز در (الف) محدوده متالومینوس در نمودار A/CNK در مقابل A/CNK (Chappell and White, 1974) و (ب) محدوده گرانیت نوع I در نمودار A/CNK در مقابل SiO_2 (Shand, 1943)

منشأ و خاستگاه تکتونیکی پلازیوگرانیت‌های نیریز

توافق کلی بر این است که عناصر با قدرت میدانی بالا (HFSE: Ti, Zr, Y, Nb, Ta and Hf) و عناصر واسطه (Ni, Cr, U, Se, Tm) و عناصر نادر خاکی در طول دگرسانی گرمابی ضعیف تا متوسط و حتی نسبتاً شدید، به صورت غیر متحرک عمل می‌کنند، در حالی که عناصر با قدرت میدانی کم (LFSE: Sr, Ba, Rb, Cs) در سیالات آبدار متحرک هستند (Pearce, Humphris and Thompson, 1975; Middleburg *et al.*, 1988; Wood *et al.*, 1979; Bedard, Meffre *et al.*, 1996; Ahmed, 1993

OR در پلازیوگرانیت‌های مجموعه افیولیتی نیریز از مشخصات بارز پلازیوگرانیت‌های توسعه یافته در محیط بالای فرورانش مانند عمان و تروودوس است.



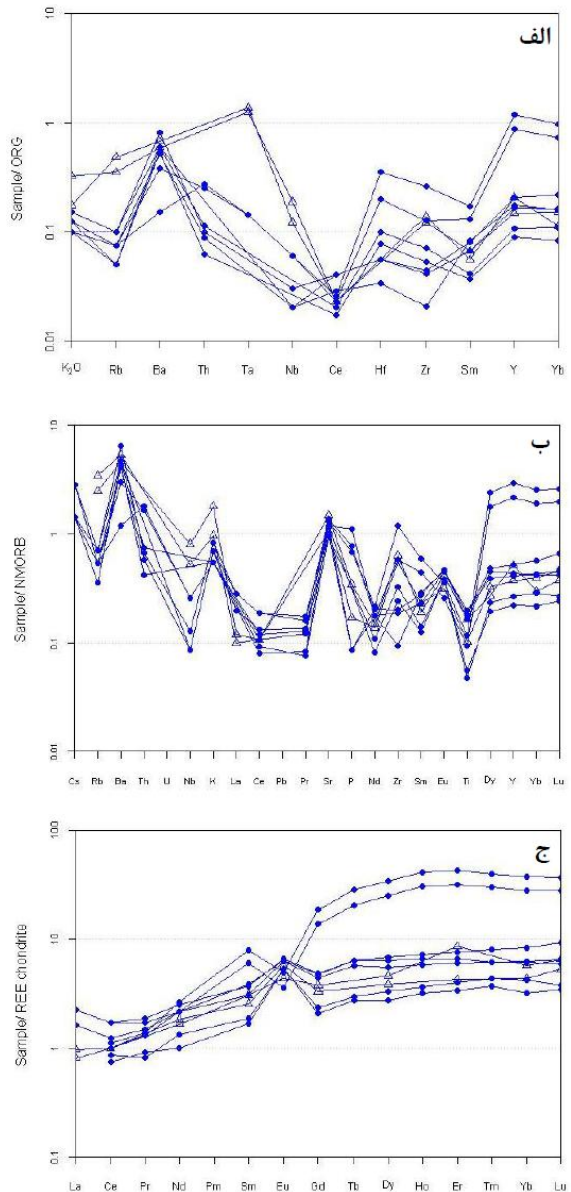
شکل ۹- الف و ب) نمودارهای متمايز کننده ماجماهای گرانیتی (Pearce *et al.*, 1984) برای سنگ‌های پلازیوگرانیتی مجموعه افیولیتی نیریز

در نمودار عناصر کمیاب پلازیوگرانیت‌های مجموعه افیولیتی نیریز به هنجار شده با MORB (شکل ۱۰-ب) تمرکز اکثر عناصر کمیاب (به غیر از عناصر متحرک در سیال نظیر Sr, Ba) کمتر از مقادیر آن‌ها برای MORB است که این امر می‌تواند نشانگر یک منبع شدیداً تهی شده برای پلازیوگرانیت‌های مجموعه افیولیتی نیریز باشد. الگوی زمین‌شیمیایی عناصر نادر خاکی پلازیوگرانیت‌های مجموعه افیولیتی نیریز به هنجار شده با کندریت (شکل ۱۰-ج) نیز نشانگر HREE تهی شدگی شدیدتر در LREE در مقایسه با است. مقادیر پایین نسبت LREE/HREE وجود بی‌هنجاری منفی Eu در برخی از نمونه‌های پلازیوگرانیتی نیریز را می‌توان در قالب تفریق وسیع پلازیوکلаз از مذاب‌هایی با تفریق یافتنگی کمتر توجیه نمود که این مسئله با محتوای پایین Al نمونه‌های پلازیوگرانیتی کاملاً هماهنگ است و چنین الگویی در ترونجمیت‌ها و داسیت‌های متعلق به جزایر قوسی جوان و پلازیوگرانیت‌های افیولیت‌ها نیز معمول است (Culler and Graf, 1984).

جهان، مانند عمان (Rollinson, 2009) و تروودوس در قبرس (Floyd *et al.*, 1998) نیز گزارش شده است. نشان دادن ویژگی‌های حدواسط نوع I و

همچنین Pearce و همکاران (۱۹۸۴) در کنار نمودارهای تشخیص محیط تکتونیکی سنگ‌های اسیدی، نمودارهای عنکبوتی به هنجار شده بر اساس ORG را به منظور اظهار قطعیت بیشتر در مورد محیط تکتونیکی آن‌ها ارائه نمودند. در مقایسه با گرانیت پشتۀ میان اقیانوسی (ORG)، نمودار عنکبوتی پلازیوگرانیت‌های مجموعه افیولیتی نیریز در مقادیر HFSE و LILE تهی شدگی نشان می‌دهند (جدول ۱ و شکل ۱۰-الف). الگوی شکل ۱۰-الف شباهت‌هایی را با الگوی ارائه شده برای گرانیت‌های قوس آتشفسانی عمان (Pearce *et al.*, 1984) نشان می‌دهد، هر چند که تمرکز مقادیر HFSE در پلازیوگرانیت‌های مجموعه افیولیتی نیریز بسیار کمتر از مقادیر یاد شده برای گرانیت‌های قوس آتشفسانی عمان است. وجود بی‌هنجاری منفی Nb و مقادیر پایین Ta در نمونه‌ها (به غیر از دو نمونه بر گرفته شده از Babaei و همکاران (۲۰۰۶)) می‌تواند گویای تشکیل پلازیوگرانیت‌های مجموعه افیولیتی نیریز در پهنه بالای فرورانش (SSZ) باشد (Nicholson *et al.*, 2000).

هولولوکرکات و کانی‌های تیره کم فقط نام ترونجمیت برای آن‌ها پیشنهاد می‌شود. این سنگ‌های دارای مشخصات ماقمای سابآلکالن نوع کالکآلکالن، پرآلومینوس و از نوع گرانیتوییدهای I هستند.



شکل ۱۰- نمودارهای عنکبوتی سنگ‌های پلاژیوگرانیتی مجموعه افیولیتی نیریز، (الف) به هنگار شده با گرانیت‌های پشته میان اقیانوسی (Pearce *et al.*, 1984)، (ب) به هنگار شده با (ج) الگوی عناصر نادر خاکی (Sun and McDonough, 1989) به هنگار شده با کندریت (Sun and McDonough, 1989).

نبود فاز حدواتط دیوریتی همراه با فقدان پیوستگی در روند تغییرات اکسیدهای اصلی در مقابل SiO_2 برای

Rollinson (۲۰۰۹) نیز چنین الگویی را برای پلاژیوگرانیت‌های تأخیری عمان پیشنهاد کرده است. در مقابل، وجود بی‌هنگاری مثبت ضعیف Eu در برخی از نمونه‌های پلاژیوگرانیتی (شکل ۱۰-ج) که دارای مقادیر کمی بالاتر از LREE/HREE نسبت به گروه قبل هستند را در قالب انباشتگی فلدسپارها می‌توان توجیه نمود. اما Culler و Graf (۱۹۸۴) نشان دادند که وجود بی‌هنگاری مثبت Eu در ترونجمیت‌ها نمی‌تواند نتیجه انباشتگی فلدسپارها باشد و احتمالاً حاصل تعادل هورنبلند/مذاب است که در طی جدایش هورنبلند، Eu در قیاس با دیگر REE‌ها در مذاب‌های تفریق یافته تر متمرکز می‌شود. بدین ترتیب میزان میزان REE‌ها به جزء Eu کاهش یافته و نهایتاً سنگ‌هایی با محتوای HREE کم ولی با آنومالی مثبت Eu ایجاد می‌شود و این دقیقاً مشابه با وضعیتی است که در برخی نمونه‌های پلاژیوگرانیتی نیریز دیده می‌شود. در هر دو شکل ۱۰-ب و ۱۰-ج، دو نمونه در عناصر HREE و بعضی از عناصر HFSE (نظیر Dy, Y, Lu و Yb) غنی‌شدنی نشان می‌دهند که ممکن است نشانگر دو ماقمای مادر متفاوت باشد. به هر حال الگوی عناصر REE و همچنین عناصر کمیاب پلاژیوگرانیت‌های مجموعه افیولیتی نیریز، شباهت زیادی را به الگوی عناصر یاد شده در پلاژیوگرانیت‌های تأخیری مجموعه افیولیتی عمان در Rollinson Jebel Fayyad (۲۰۰۹) دارد که بر اساس نظر شده از ذوب یک سنگ منشأ بازی مشتق شده از گوشه‌های تهی شده هارزبورزیتی نشأت گرفته باشند.

نتیجه‌گیری

شواهد صحراوی مانند وجود بیگانه سنگ‌های گابروی در پلاژیوگرانیت‌های مجموعه افیولیتی نیریز همراه با تماس واضح بین آن دو حاکی از تزریق ماقمای اسیدی است. سنگ‌های پلاژیوگرانیتی نیریز در محدوده تونالیت و ترونجمیت قرار می‌گیرند، اما به علت ضربی رنگی

پلازیوگرانیت‌های مجموعه افیولیتی نیریز با پلازیوگرانیت‌های تأخیری مجموعه افیولیتی عمان، می‌توان اظهار نمود که ماغمای سازنده پلازیوگرانیت‌های مجموعه افیولیتی نیریز در یک محیط تکتونیکی پهنه بالای فرورانش از ذوب بخشی سنگ‌های بازی حاصل شده باشند که این سنگ منشأ خود قبل از ذوب یک گوشه تهی شده هارزبورژیتی نشأت گرفته است.

توده‌های گابرویی و پلازیوگرانیتی، وجود فرآیند تفریق از یک فاز بازی، جهت توسعه پلازیوگرانیت‌ها را تأیید نمی‌کند. همچنین فقدان غنی‌شدگی پلازیوگرانیت‌های مجموعه افیولیتی نیریز در LREE مشتق شدن آن‌ها از ذوب آمفیولیت‌ها را نیز منتفی می‌سازد. حضور دو نمونه دارای غنی‌شدگی در عناصر HREE و Y می‌تواند نشانگر دو ماغمای مادر مختلف باشند. با توجه به شباهت الگوی عناصر REE و عناصر کمیاب

منابع

- علیزاده، ا. (۱۳۹۰) زمین‌شیمی و پتروژنیز پلازیوگرانیت‌های مجموعه افیولیتی نیریز، جنوب‌شرق شیراز: با تأکیدی بر منشأ آن‌ها. پایان‌نامه کارشناسی ارشد، دانشگاه شهید باهنر کرمان، ایران.
- هاشمی تنگستانی، م. (۱۳۷۵) ویژگی‌های پتروشیمیایی انباشته‌های مافیک و الترامافیک (تنگ حنای نیریز). پایان‌نامه کارشناسی ارشد، دانشگاه شهید باهنر، کرمان، ایران.
- Ahmed, Z. (1993) Leucocratic rocks from the Bela ophiolite, Khuzdar District, Pakistan. In: Treloar, P. J. and Searle, M. P. (Eds.): Himalayan Tectonics. Geological Society of London Special Publication 74: 89-100.
- Alabaster, T., Pearce, J. A. and Malpas, J. (1982) The volcanic stratigraphy and petrogenesis of the Oman ophiolite. Contributions to Mineralogy and Petrology 81: 168-183.
- Aumento, F. (1969) Diorites from the mid- Atlantic ridge at 45° N. Science 165: 1112-1113.
- Babaei, H. A., Babaei, A. M., Ghazi, A. and Arvin, M. (2006) Geochemical, $^{40}\text{Ar}/^{39}\text{Ar}$ age and isotopic data for crustal rocks of the Neyriz ophiolite, Iran. Canadian Journal of Earth Sciences 43: 57-70.
- Barbarin, B. (1999) A review of the relationships between granitoid types, their origin and their geodynamic environment. Lithos 46: 605-626.
- Bedard, J. H. (1999) Petrogenesis of boninites from the Betts Cova ophiolites, Newfoundland, Canada: identification of subducted source components. Journal of Petrology 40:1853-1889.
- Casey, J. F. (1997) Comparison of major- and trace-element geochemistry of abyssal peridotites and mafic plutonic rocks with basalts from the MARK region of the mid-Atlantic ridge. In: Karson, J. A., Cannat, M., Miller, D. J. and Elthon, D. (Eds.): Proceedings of the ODP, Science Research, Oceanic Drilling Program. College Station 153: 181-241.
- Chappell, B. W. and White, A. J. R. (1974) Two contrasting granite types. Pacific Geology 8: 173-174.
- Coleman, R. G. and Peterman, Z. E. (1975) Oceanic Plagiogranites. Journal of Geophysical Research 80:1 099-1108.
- Culler, R. L. and Graf, J. L. (1984) Rare earth elements in igneous rocks of the continental crust: Intermediate and silicic rocks- ore petrogenesis. In: Henderson, P. (Ed.): Rare earth element geochemistry. Elsevier, Amsterdam.
- Dick, H. J. B., Natland, J. H., Alt, J. C., Bach, W., Bideau, D., Gee, J. S., Haggas, S., Hertogen, J. G. H., Hirth, G., Holm, P. M., Ildefonse, B., Iturrino, G. J., John, B. E., Kelley, D. S., Kikawa, E., Kingdon, A., LeRoux, P. J., Maeda, J., Meyer, P. S., Miller, D. J., Naslund, H. R., Niu, Y. L., Robinson, P. T.,

- Snow, J., Stephen, R. A., Trimby, P. W., Worm, H. U. and Yoshinobu, A. (2000) A long in situ section of the lower oceanic crust: results of ODP Leg 176 drilling at the Southwest Indian Ridge. *Earth Planetary Science Letters* 179: 31-51.
- Expedition Scientific Party (2005) Oceanic core complex formation, Atlantis Massif-oceanic core complex formation, Atlantis Massif, mid-Atlantic Ridge: drilling into the foot-wall and hanging wall of a tectonic exposure of deep, young oceanic lithosphere to study deformation, alteration and melt generation. IODP Preliminary Report 305, DOI 10.2204/iodp.pr.305.2005.
- Floyd, P. A., Yaliniz, M. K. and Goncuoglu, M. C. (1998) Geochemistry and petrogenesis of intrusive and extrusive ophiolite plagiogranite, Central Anatolian crystalline complex Turkey. *Lithos* 42: 225-241.
- Gerlach, D. C., Avelallement, H. G. and Leeman, W. P. (1981) An island arc origin for the Canyon Mountain ophiolite complex, eastern Oregon, U.S.A. *Earth and Planetary Science Letters* 53: 255-265.
- Hatzipanagiotou, K., Lekkas, E. and Migiros C. (1995) Plagiogranites in the ultrabasic rocks of the Koziakas Mountain (Central Greece). *Zeitschrift der Deutschen Geologischen Gesellschaft* 146: 479-486.
- Humphris, S. E. and Thompson, G. (1978) Hydrothermal alteration of oceanic basalts by seawater. *Geochemica et Cosmochimica Acta* 42: 107-125.
- Irvine, T. N. and Baragar, W. R. A. (1971) A guide to the chemical classification of the common volcanic rocks. *Canadian Journal of Earth Sciences* 8: 523-545.
- Ishihara, S. (1977) The magnetite-series and ilmenite-series granitic rocks. *Mining Geology* 27: 293-305.
- Jafri, S. H., Charan, S. N. and Govile, P. K. (1995) Plagiogranite from the Andaman ophiolite belt, Bay of Bengal, India. *Journal of the Geological Society of London* 152: 681-687.
- Jenner, G. A., Dunning, G. R., Malpas, J., Brown, M. and Brace, T. (1991) Bay of Island and Little port complex, revisited: age, geochemical and isotopic evidence confirm supra subduction zone origine. *Canadian Journal of Earth Sciences* 28: 1635-1652.
- Jiang, Y. H., Liao, S. Y., Yang, W. Z. and Shen, W. Z. (2008) An island arc origin of plagiogranites at Oytag, western Kunlun orogeny, northwest China: SHRIMP zircon U-Pb chronology, elemental and Sr-Nd-Hf isotopic geochemistry and Paleozoic tectonic implications. *Lithos* 106: 323-335.
- Juteau, T., Ernewein, M., Reuber, I., Whitechurch, H. and Dahl, R. (1988) Duality of magmatism in the plutonic sequence of the Sumail Nappe, Oman. *Tectonophysics* 151: 107-135.
- Koepke, J., Berndt, J., Feig, S. T. and Holtz, F. (2007) The formation of SiO_2 -rich melts within the deep oceanic crust by hydrous partial melting of gabbros. *Contributions to Mineralogy and Petrology* 153: 67-84.
- Koepke, J., Feig, S. t., Snow, J. and Freise, M. (2004) Petrogenesis of oceanic plagiogranites by partial melting of gabbros: an experimental study. *Contributions to Mineralogy and Petrology* 146: 41-432.
- Le Maitre, R. W. (2002) Igneous rocks. A classification and glossary of terms. Recommendations of the International Union of Geological Sciences Subcommision on the systematics of Igneous Rocks. 2nd edition. Cambridge University Press, Cambridge.
- Lippard, S. J., Shelton, A. W. and Gass, I. G. (1986) The ophiolite of Northern Oman. *Geological Society Memoir*, 11. Blackwell, Oxford.
- Malpas, J. (1979) Two contrasting trondjemite associations from transported ophiolites in Western Newfoundland: initial report. In: Barker, F. (Ed.): *Trondjemites, dacites and related rocks*. Elsevier, Amsterdam.
- Meffre, S., Aitchison, J. C. and Crawford, A. J. (1996) Geochemical evolution and tectonic significance of boninites and tholeiites from the Koh ophiolite, New Caledonia. *Tectonics* 15: 67-83.

- Middleburg, J. J., VanDer Weijden, C. H. and Woittiez, J. R. W. (1988) Chemical processes affecting the mobility of major, minor and trace elements during weathering of granitic rocks. *Chemical geology* 68: 253-273.
- Miyashiro, A. (1973) The Troodos ophiolitic complex was probably formed in an island arc. *Earth Planetary Science Letters* 19: 218-224.
- Nicholson, K. N., Black, P. M. and Picard, C. (2000) Geochemistry and tectonic significance of the Tongihua Ophiolite complex, New Zealand. *Tectonophysics* 321: 6-15.
- O'Connor, J. T. (1965) A classification of quartz-rich Igneons rocks based on feldspar ratios. *United State Geological Survey Professional Papers* 525B: B79-B84.
- Pearce, J. A. (1975) Basalt geochemistry used to investigate past tectonic environment on Cyprus. *Tectonophysics* 25: 41-67.
- Pearce, J. A., Harris, N. B. W. and Tindle, A. G. (1984) Trace element discrimination diagrams for the tectonic interpretation of granitic rocks. *Journal of Petrology* 25: 965-983.
- Rameshwar, D., Rai, H. and Kumar, S. J. (2004) Origin of oceanic plagiogranite in the Nidar ophiolitic sequence of eastern Ladakh, India. *Journal of Current Science* 87: 999-1005.
- Rickwood, P. C. (1989) Boundary lines within petrologic diagrams which use oxides of major and minor elements. *Lithos* 22: 247-263.
- Rollinson, H. (2009) New models for the genesis of plagiogranites in the Oman ophiolite. *Lithos* 112: 603-614.
- Saunders, A. D., Tarney, J., Stern, C. R. and Dalziel, I. W. D. (1979) Geochemistry of Mesozoic marginal basin floor igneous rocks from southern Chile. Part 1. *Geological Society of America Bulletin* 90: 237-258.
- Shand, S. J. (1943) Eruptive rocks. D. Van Nostrand Company, New York.
- Sun, S. S. and Mc Donough, W. F. (1989) Chemical and isotopic systematics of oceanic basalts: implication for mantle composition and processes. In: Saunders, A. D and Norry, M. J. (Eds.): *Magmatism in ocean basins*. Geological Society of London Special Publication 42: 313-345.
- Vernikovskiy, V. A., Neymark, L. A., Proskurin, V. F. and Yakovleva, S. Z. (1993) Late Riphean age of the Kunar massif plagiogranites (U-Pb zircon dating). *Transactions of the Russian Academy of Sciences* 331: 706-708 (in Russian).
- Wood, D. A., Joron, J. L. and Treuil, M. (1979) A re-appraisal of the use of trace elements to classify and discriminate between magma series erupted in different tectonic settings. *Earth and Planetary Science Letters* 50: 325-336.
- Yaliniz, M. K., Floyd, P. A. and Goncuoglu, M. C. (2000) Petrology and geotectonic significance of plagiogranite from the Sarikaraman ophiolite (Central Anatolia, Turkey). *Ophioliti* 25: 31-37.

Geochemistry and petrogenesis of plagiogranites in the Neyriz ophiolitic sequence, Iran: Constraints on their origin

Elahe Alizadeh, Mohsen Arvin * and Sara Dargahi

Department of Geology, Faculty of Sciences, Shahid Bahonar University, Kerman, Iran

Abstract

Plagiogranite intrusive rocks are outcropped in the gabbroic section of the Neyriz ophiolitic sequence in the south east of Shiraz. Petrographically, they are comprised of tonalite, trondhjemite and their contact with surrounding gabbros is either sharp or covered. Predominant textures are hypidiomorphic inequigranular, granophyry and micrographic. Mineralogically, they are consisting of plagioclase, quartz, sodium feldspars as major minerals and less than 10% amphibole ± pyroxene, opaques and rarely titanite and zircon as minor minerals. Geochemical studies show that their magma is sub-alkaline type (calc-alkaline series) and metaluminous. Typologically, plagiogranites have characteristics of oceanic ridge granite (ORG) toward I-type granites. Chonderite normalized REE patterns of Neyriz plagiogranites show depletion in LREEs along with a flat HREE patterns and it seems that they were formed in supra-subduction zone environment by partial melting of mafic rocks which in turn were formed by the anatexis of a previously depleted harzburgitic mantle.

Key words: Neyriz ophiolite, Plagiogranite, Subduction zone, Volcanic arc, Mid-oceanic ridge

* arvin@uk.ac.ir